

# طراحی سیستم کنترل تطبیقی پیش‌بین یک جسم پرنده بر مبنای روش مدل-مرجع و مبتنی بر تئوری لیاپانوف

سعید کاشفی<sup>۱</sup>

پژوهشکده علوم و فناوری مکانیک

(تاریخ دریافت: ۹۰/۰۶/۱۲؛ تاریخ پذیرش: ۹۱/۰۵/۰۵)

## چکیده

موشک‌ها به دلیل شرایط مختلف پروازی، تغییر در مشخصه‌های جرمی-اینرسی، ضربه‌های آبرودینامیکی، اغتشاشات و... معادله‌های دینامیکی آنها نامعین و دارای عدم قطعیت است. بنابراین استفاده از روش‌های تطبیقی یا مقاوم در طراحی اتوپایلوت، به طوری که متناسب با تغییر پارامترهای نامعین در دینامیک مoshک، پارامترهای اتوپایلوت نیز تغییر کند، ضروری به نظر می‌رسد. در این مقاله، ابتدا قانون کنترل پیش‌بین مبتنی بر مدل غیرخطی (NMPC) بر مبنای تقریب بسط تیلور خروجی انجام می‌گیرد، سپس با استفاده از تقریب توابع نامعین و غیرخطی دینامیک مoshک (Skid To Turn missile STT) یک روش کنترل پیش‌بین تطبیقی مدل-مرجع که در آن از قابلیت شبکه‌های عصبی در تقریب توابع غیرخطی استفاده شده است، ارائه می‌شود.

**واژه‌های کلیدی:** اتوپایلوت، کنترل تطبیقی، کنترل پیش‌بین، شبکه‌های عصبی، عدم قطعیت

## Predictive Adaptive Autopilot for STT Missile Based on Model Reference Method and Lyapanov Theorem

S. Kashefi

Mechanic Technology and Sciences Research Center

(Received: 3,September, 2011; Accepted: 26, July 2012)

## ABSTRACT

Due to different flight conditions, variation in mass-inertia characteristics, aerodynamic coefficients, disturbance and etc, dynamic equations are unknown and uncertain. therefore use of adaptive or robust control method for designing of autopilot which is related to unknown parameters variation in missile dynamic, autopilot parameters are variant, It cause this method to be necessary. In this paper first of all a predictive control is designed based on nonlinear model (NMPC) and tailor expansion and then by help of neural network in approximation of unknown functions in missile dynamic an model-reference predictive adaptive control is proposed for STT missile.

**Keywords:** Autopilot, Adaptive Control, Predictive Control, Neural Network, Uncertainty

دققت، سرعت و قابلیت‌های مانورپذیری جسم پرنده، در جهت غلبه و کم اثر کردن عدم قطعیت‌ها، خطای مدل‌سازی و... تحقق یافته است. از جمله این رویکردها، می‌توان روش‌های تطبیقی و مقاوم و نیز روش‌های هوشمند مبتنی بر سیستم‌های عصبی و فازی و یا ترکیبی از این روش‌ها اشاره کرد.

موشک‌ها دسته‌ای از اجسام پرنده هستند که به‌دلیل شرایط پروازی مختلف، مانند کاهش جرم در طول پرواز، تغییر ارتفاع و در نتیجه تغییر ضرایب‌های آیرودینامیکی، معادله‌های آن نامعین و دارای عدم قطعیت است. بنابراین استفاده از روش‌های تطبیقی و مقاوم در طراحی اتوپایلوت، به‌طوری که پارامترهای نامعلوم دینامیک مoshک تخمین زده شود و مناسب با تغییر این پارامترها در دینامیک، پارامترهای اتوپایلوت نیز تغییر کند، ضروری به‌نظر می‌رسد. در مراجع [۱-۲] برای مود طولی مoshک غیرخطی یک کنترل تطبیقی به‌روش گام به عقب<sup>۱</sup> و تخمین پارامترهای نامعین استفاده می‌شود و در مرجع [۳] کنترل فازی تطبیقی مبتنی بر تلفیق روش  $H_2$ / $H_\infty$  برای مoshک غیرخطی ارائه شده است.

کنترل پیش‌بین مبتنی بر مدل، یکی از روش‌هایی مرسوم در کنترل غیرخطی است که تحقیقات بسیاری در این زمینه انجام گرفته است. از جمله آنها، می‌توان به خطی‌سازی تحلیلی سیستم‌های غیرخطی با استفاده از بسط سری تیلور برای پیش‌بین، خطای بین خروجی آتی مدل-مرجع و خروجی آتی سیستم اشاره کرد [۴]. در مرجع‌های [۵-۶]<sup>۲</sup> کنترل بهینه پیش‌بین سیستم‌های غیرخطی در حالت آفین<sup>۳</sup> و در مرجع‌های [۷-۸] کنترل کننده‌ی پیش‌بین تطبیقی سیستم‌های غیرخطی کلی با استفاده از روش خطای افزوده ارائه شده است. در این مقاله، یک الگوریتم پیش‌بین برمبانی تقریب‌گر عصبی در سیستم‌های غیرخطی ارائه می‌شود که در مقایسه با روش ارائه شده در مرجع‌های [۷-۸] در تقابل با تغییر پارامترهای نامعین سیستم غیرخطی، عملکرد بهمراه بeterی دارد. سپس از این روش در طراحی سیستم کنترل مoshک STT از آن استفاده شده است و عملکرد آن، مورد

فهرست علائم	
ضریب آیرودینامیکی نیروی عمودی	$C_n$
ضریب آیرودینامیکی گشتاور پیچ	$C_m$
قطر مرجع مoshک،	$d$
ضریب چند جمله‌ای آیرودینامیک نیروی عمودی نسبت به انحراف بالک	$d_n$
ضریب چند جمله‌ای آیرودینامیک گشتاور پیچ نسبت به انحراف بالک	$d_m$
شتاب جاذبه،	$g$
جرم مoshک،	$m$
فشار استاتیک،	$P_0$
عدد ماخ	$M$
ممان اینرسی حول محور پیچ،	$I$
نرخ زاویه پیچ،	$q$
مساحت سطح مرجع مoshک،	$s$
سرعت مoshک،	$V_m$

### علائم یونانی

زاویه‌ی حمله،	$\alpha$
فرمان انحراف بالک،	$\delta_c$
مقدار انحراف بالکها،	$\delta$

### ۱- مقدمه

روش‌های کنترل تطبیقی، بی‌شک یکی از پرکاربردترین روش‌های مورد استفاده در فرایندهایی با معادله‌های دینامیک نامعین و دارای عدم قطعیت است. روش‌های کنترل تطبیقی برمبانی مدل مرجع و مبتنی بر تئوری لیاپانوف که علاوه بر تضمین پایداری حلقه بسته، عملکرد مناسب را براساس مدل مرجع مطلوب برآورده می‌کند، از جایگاه ویژه‌ای برخوردار است. در کنترل پرواز، طراحی سیستم‌های کنترل اجسام پرنده از قبیل هواپیماها، فضایپیمایها، بالگردهای دینامیک و انواع مoshک‌ها که سیستم‌هایی با معادله‌های دینامیک پارامتری هستند، مورد بررسی قرار می‌گیرند، در این میان، رویکردهای کنترلی بسیاری در سیستم‌های کنترل اجسام پرنده برای دستیابی به پایداری و عملکرد مطلوب باتوجه به

دهد. برای مدل موشک STT مورد بحث در این مقاله یک کنترل تطبیقی به روش جایابی قطب و مبتنی بر جدول‌بندی بهره در مرجع [۱۹] طراحی شده است. در مرجع [۲۰] نیز کنترل به روش خطی‌سازی بازخورد<sup>۳</sup> و مبتنی بر تقریب و در مرجع [۲۱] یک روش کنترل مقاوم برای همین مدل موشک ارائه می‌شود. اما در این مقاله، سیستم کنترل تطبیقی مدل-مرجع پیش‌بین مبتنی بر مدل برای موشک STT طراحی می‌شود و توابع غیرخطی نامعین دینامیک موشک که در قانون کنترل ایده‌آل ظاهر می‌شوند، با استفاده از تقریب‌گر عصبی به‌طور غیرمستقیم تقریب زده می‌شود. طراحی قانون کنترل ایده‌آل از روش پیش‌بین بر مبنای تقریب بسط تیلور خروجی انجام می‌گیرد.

**۲- تبیین مسئله و معادله‌های دینامیکی موشک**  
معادله‌های دینامیک مود طولی موشک STT که با بالک‌های انتهایی کنترل می‌شود، با فرض‌هایی از قبیل ثابت بودن جرم موشک و ... به دو نیرو و یک گشتاور کاهش می‌یابد [۲۲]:

$$\begin{aligned} F_x &= QSC_D, \\ F_y &= QSC_n, \\ M_z &= QSC_m. \end{aligned} \quad (1)$$

رابطه‌های ضربی‌های آبرودینامیکی به صورت زیر است:

$$\begin{aligned} C_n &= a_n \alpha + b_n \alpha |\alpha| + c_n (2 - M/3) \alpha + d_n \delta, \\ C_m &= a_m \alpha + b_m \alpha |\alpha| + c_m (-7 + 8M/3) + d_m \delta, \\ C_D &= -0.3, \\ C'_n(\alpha) &= C_n(\alpha, 0). \end{aligned} \quad (2)$$

معادله‌های حالت به دست آمده از رابطه‌ی (۱) پس از محاسبات و مرتب‌سازی به شکل زیر است:

$$\begin{aligned} \dot{\alpha} &= \cos(\alpha) k_\alpha M^2 C'_n(\alpha) / V_m + q, \\ \dot{q} &= k_q M^2 C_m(\alpha, \delta), \\ \eta &= k_\eta M^2 C'_n(\alpha). \end{aligned} \quad (3)$$

که در آن،  $\alpha, q$  متغیرهای حالت و  $\eta$  خروجی (شتات نرمال) است. پارامترهای ثابت در رابطه‌های فوق عبارت است از:

$$\begin{aligned} k_\alpha &= 0.7 p_0 s / m, \\ k_q &= 0.7 p_0 s d / m, \\ k_v &= C_a k_\alpha, \\ k_\eta &= 0.7 p_0 s / gm. \end{aligned} \quad (4)$$

دینامیک عملگر با معادله‌ی دیفرانسیل مرتبه‌اول با فرکانس

بررسی قرار می‌گیرد. موشک STT که در این تحقیق مورد بحث است، معادله‌های دینامیکی آن به صورت آفین قابل بازنویسی است. اگر توابع موجود در مدل آفین را نامعین (که به‌واسطه وابستگی به پارامترهای نامعین و متغیر با زمان مانند عدد ماخ، زاویه‌ی حمله و ...) فرض صحیح است) فرض کنیم، می‌توان با استفاده از تئوری تقریب توابع نامعین قانون کنترل را تقریب زد، این روش تقریب غیرمستقیم نامیده می‌شود.

قابلیت بالای تقریب‌گری شبکه‌های عصبی باعث شده که تحقیق‌های زیادی در زمینه‌ی کاربرد آنها در شناسایی و کنترل فرآیندها انجام شود [۹-۱۰]. قدرت یادگیری و تعمیم، همگرایی سریع، مقاوم بودن و سادگی ساختار شبکه‌های عصبی باعث شده است که نامزد خوبی برای کنترل فرآیندهای غیرخطی باشند، حتی هنگامی که هیچ‌گونه اطلاعاتی از درون سیستم نداریم، شبکه‌های عصبی می‌توانند مدل سیستم را تقریب بزنند [۱۱-۱۲]. در مرجع [۱۳] نشان داده شده است که این نوع شبکه‌های عصبی، قادرند هر تابع غیرخطی را با دقت دلخواه تقریب بزنند. همچنین در مرجع [۱۴] اثبات شده است که شبکه‌های عصبی RBF (با توابع پایه‌ی شعاعی) تقریب‌گرهای کلی هستند. مشابه شبکه‌های عصبی RBF، شبکه‌های عصبی موج‌دار خود بازگشتی (SRWNN) دارای خاصیت تقریب‌گری هستند [۱۵]. یکی از نقص‌های مهم شبکه‌های عصبی آن است که برای آموزش آنها، باید اطلاعات عددی به‌اندازه‌ی کافی وجود داشته باشد [۱۶-۱۷]. از آنجایی که شبکه‌های عصبی قابلیت لازم برای تقریب با دقت بالای توابع پیوسته غیرخطی را داراست، می‌تواند به‌همراه کنترل تطبیقی و مقاوم برای رفع مشکلات آنها به کار رود [۱۸].

همان‌طور که اشاره شد، شبکه‌های عصبی (NN) در شناسایی، تقریب و کنترل سیستم‌هایی که اطلاعات دقیق از مدل آنها وجود ندارد، کاربردهای بسیاری دارد. بنابراین از شبکه‌های عصبی می‌توان در کنترل پرواز به عنوان تقریب‌گر که توابع نامعین معادله‌های دینامیکی را به صورت به‌هنگام<sup>۱</sup> تقریب زده و کنترل کننده‌ی تطبیقی که پارامترهای آن متناظر با تغییر شرایط پرواز است، به صورت به‌هنگام تغییر

فرضیات زیر در سیستم غیرخطی رابطه‌ی (۷) مفروض است:  
 ۱- سیستم غیرخطی نسبت به زمان تا مرتبه‌ی دلخواه مشتق‌بذیر است. این فرض به این معنی است که سیستم غیرخطی را می‌توان توسط بسط تیلور با دقت دلخواه تقریب زد و

۲-  $f(0,0) = 0$  این فرض به این معنی است که نقطه‌ی مبدأ، نقطه‌ی تعادل سیستم غیرخطی در حالت ورودی صفر است.

با فرض برآورده‌شدن مفروضات فوق، خروجی آتی سیستم از دیدگاه پیش‌بین تا مرتبه‌ی  $\mu > r$  (مرتبه‌ی نسبی سیستم غیرخطی است) با سری تیلور تقریب زده می‌شود. مرتبه‌ی بسط تیلور  $r$ ، حداقل برابر مرتبه‌ی نسبی سیستم غیرخطی انتخاب می‌شود. بنابراین خروجی سیستم غیرخطی از دیدگاه پیش‌بین به صورت رابطه‌ی زیر است:

$$y(t + \tau) \cong y(t) + \tau \dot{y}(t) + \dots + \frac{\tau^r}{r} y^{[r]},$$

$$T_1 \leq \tau \leq T_2, \quad (8)$$

$y(t + \tau) \cong \tau Y(t)$ ,  
 $\tau_1 = \begin{bmatrix} 1 & \tau & \dots & \frac{\tau^r}{r} \end{bmatrix}$ ,  
 $Y(t) = [y^{[0]}(t) \quad y^{[1]}(t) \quad \dots \quad y^{[\mu]}(t) \quad \dots \quad y^{[r]}(t)]^T$ .  
 پس از بسط تیلور خروجی آتی سیستم غیرخطی و مدل-مرجع، خطای ریدابی به صورت زیر تقریب زده می‌شود:  
 $e(t + \tau) = y(t + \tau) - y_r(t + \tau),$   
 $e(t + \tau) \cong \tau_1(Y(t) - Y_r(t)).$

تابع هزینه‌ی بهینگی مورد نظر توسط رابطه‌ی (۱۰) بیان می‌شود:

$$J = \frac{1}{2} \int_{T_1}^{T_2} e(t + \tau)^2 d\tau,$$

$$J \cong \frac{1}{2} \int_{T_1}^{T_2} (Y(t) - Y_{ref}(t))^T \tau_1^T \tau_1 (Y(t) - Y_{ref}(t)) d\tau,$$

$$J \cong \frac{1}{2} (Y(t) - Y_{ref}(t))^T \int_{T_1}^{T_2} \tau_1^T \tau_1 d\tau (Y(t) - Y_{ref}(t)), \quad (10)$$

$$J \cong \frac{1}{2} (Y(t) - Y_{ref}(t))^T \Lambda (Y(t) - Y_{ref}(t)),$$

$$\Lambda = \int_{T_1}^{T_2} \tau^T \tau d\tau.$$

در رابطه‌ی (۸)، تقریب خروجی سیستم غیرخطی با استفاده از بسط تیلور تا مرتبه‌ی  $r$  بسط داده شده است. اگر تمام مرتبه‌های  $y$  از  $y^{[1]}$  تا  $y^{[r]}$  محاسبه شود، حداقل

گوشه  $\alpha_a$  توصیف می‌شود. معادله‌های رابطه‌ی (۳) را می‌توان به شکل رابطه‌ی (۵) بازنویسی کرد.

$$\begin{aligned} \dot{\delta}(t) &= -\omega_a \delta(t) + \omega_a \delta_c(t), \\ f_1(x, \theta) &= \cos(\alpha) k_a M^2 C'_n(\alpha) / V_m, \\ g(x, \theta, u) &= k_q M^2 C_m(\alpha, \delta), \\ g(x, \theta, u) &= k_q M^2 \left[ a_m \alpha^3 + b_m \alpha |\delta| + c_m (-7 + 8M/3)\alpha \right] + k_q M^2 d_m \delta, \\ g(x_1, \theta, u) &= g_1(x_1, \theta) + g_2(\theta)u, \\ \begin{cases} \dot{x}_1 = f_1(x_1, \theta) + x_2, \\ \dot{x}_2 = g_1(x_1, \theta) + g_2(\theta)u, \end{cases} \\ y &= h(x_1, \theta). \end{aligned} \quad (5)$$

این معادله‌های دینامیکی موشک، نامعین و متغیر با زمان هستند. دلیل آن، تغییر سرعت و ارتفاع موشک بر حسب زمان است که موجب تغییر عدد ماخ و فشار دینامیکی می‌شود. تغییر عدد ماخ باعث تغییر ضریب‌های آیرودینامیکی مطابق رابطه‌ی (۲) و تغییر فشار دینامیکی باعث تغییر نیروها و گشتاورهای آیرودینامیکی رابطه‌ی (۱) (حتی در صورتی که ضریب‌های آیرودینامیکی ثابت باشند) می‌شود. بنابراین در معادله‌های دینامیکی موشک تابع‌های  $f_1, g_1, g_2, h$  و متابع‌های نامعین و متغیر با زمان هستند که در شرایط مختلف پروازی تغییر می‌کنند.

از طرفی این معادله‌های غیرخطی، قابل خطی‌سازی بازخورد بوده و دینامیک داخلی نیز ندارد و به شکل رابطه‌ی (۶) که در آن پارامتر نامعین  $\theta$  عدد ماخ است، قابل بازنویسی است.

$$\begin{aligned} \dot{x}_1 &= x_2, \\ \dot{x}_2 &= F(x_1, x_2, \theta) + G(x_1, \theta)u, \\ y &= x_1, \\ y^{[2]} &= F(y, \dot{y}, \theta) + G(y, \theta)u. \end{aligned} \quad (6)$$

باید توجه داشت توابع  $F$  و  $G$  نیز توابعی نامعین و متغیر با زمان خواهد بود.

- طراحی کنترل کننده پیش‌بین مدل-مرجع به طور کلی سیستم غیرخطی تک ورودی-تک خروجی را می‌توان به صورت زیر در نظر گرفت که در آن  $x \in R^n, u \in R, y \in R$  است:

$$\begin{aligned} x^*(t) &= f(x, u), \\ y &= h(x), \\ x(0) &= x_0. \end{aligned} \quad (7)$$

$$N = \text{diag} \left\{ T_2^{-(\mu+1)}(\mu+1)!, T_2^{-(\mu+2)}(\mu+2)!, \dots, T_2^{-r} r! \right\},$$

$$M_n^{-1} M_m \text{diag} \left\{ 1, T_2, \dots, \frac{T_2^\mu}{\mu!} \right\},$$

$$M_m = \begin{bmatrix} 1 - \frac{T_1^{\mu+1}}{T_2} & 1 - \frac{T_1^{2\mu+2}}{T_2} \\ \vdots & \vdots \\ 1 - \frac{T_1^{r+1}}{T_2} & 1 - \frac{T_1^{\mu+1}}{T_2} \end{bmatrix}, \quad (14)$$

$$M_n = \begin{bmatrix} 1 - \frac{T_1^{2\mu+3}}{T_2} & 1 - \frac{T_1^{2\mu+2}}{T_2} \\ \vdots & \vdots \\ 1 - \frac{T_1^{r+1}}{T_2} & 1 - \frac{T_1^{\mu+1}}{T_2} \end{bmatrix}.$$

جایگذاری مشتق قانون کنترل در معادلهای (۱۳) دینامیک خطا به صورت رابطه‌های زیر به دست می‌آید:

$$y^{[\mu+1]}(t) - y_{ref}^{[\mu+1]}(t) + KM_\mu(t) = 0. \quad (15)$$

مرتبه‌ی نسبی معادلهای حالت دینامیک موشک در رابطه‌ی (۱) برابر ۲ است ( $\mu = 2$ ). بنابر آنچه گفته شد با  $+1$  بار مشتق‌گیری متوالی از خروجی، معادله‌ها در فضای حالت به صورت زیر به دست می‌آید:

$$\begin{aligned} \dot{x}_1 &= x_2, \\ \dot{x}_2 &= x_3, \\ \dot{x}_3 &= f(x_1, x_2, u, \theta) + g(x_1, x_2, \theta)\dot{u}, \\ y &= x_1, \\ y^{[3]} &= f(y, \dot{y}, \ddot{y}, u, \theta) + g(y, \dot{y}, \theta)\dot{u}. \end{aligned} \quad (16)$$

**۴- تقریب غیرمستقیم قانون کنترل و طراحی کنترل کننده تطبیقی پیش‌بین مبتنی بر مدل**  
همان‌طوری که اشاره شد، قانون کنترل پیش‌بین مبتنی بر مدل به صورت زیر محاسبه می‌شود:

$$y^{[\mu+1]}(t) = f(x, u) + g(x, u)\dot{u}(t),$$

$$\dot{u}(t) = \frac{1}{g(x, u)}(-f + y_r^{[\mu+1]} - KE),$$

$$E = \begin{pmatrix} y(t) - y_r(t) \\ \dot{y}(t) - \dot{y}_r(t) \\ \vdots \\ y^{[\mu]} - y_r^{[\mu]} \end{pmatrix} = \begin{pmatrix} e(t) \\ \dot{e}(t) \\ \vdots \\ e^{[\mu]} \end{pmatrix}. \quad (17)$$

مرتبه‌ی  $u$  که ظاهر می‌شود، برابر  $\mu - r$  است.

$$u(t + \tau) = \tau u_1, \quad (11)$$

$$u_1 = \begin{bmatrix} \dot{u}(t) & \dots & u^{[r-\mu]} \end{bmatrix}^T.$$

از طرفی بنا به قضیه‌ای که اثبات آن در مرجع [۴] آمده است، قانون کنترل بهینه از رابطه‌ی زیر حاصل می‌شود:

$$\frac{\partial J}{\partial u_1} = 0, \quad (12)$$

$$u_1 = \begin{bmatrix} \dot{u}(t) & \dots & u^{[r-\mu]} \end{bmatrix}^T,$$

$$u(t) = \int \dot{u}(t) d\sigma.$$

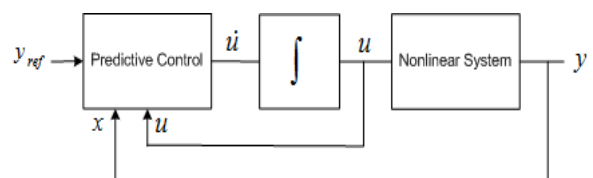
که در آن مشتق قانون کنترل به صورت زیر است:

$$\dot{u}(t) = -(D_u D_{f_x}^\mu h(x))^{-1} (KM_\mu(t) + D_{f_x}^{\mu+1} h(x) - y_{ref}^{[\mu+1]}(t)),$$

$$y^{[\mu+1]}(t) = D_{f_x}^{\mu+1} h(x) + (D_u D_{f_x}^\mu h(x)) \dot{u}(t),$$

$$M_\mu(\sigma) = \begin{bmatrix} h(x) - y_{ref}(x) \\ D_{f_x} h(x) - \dot{y}_{ref}(x) \\ \vdots \\ D_{f_x}^\mu h(x) - y_{ref}^{[\mu]}(\sigma) \end{bmatrix}. \quad (13)$$

دینامیک رابطه‌ی (۱۳) مشابه دینامیک مطرح شده در مباحث کنترل غیرخطی بعد از اعمال خطی‌سازی بازخورد در سیستم‌های غیرخطی است. با این تفاوت که در بررسی روش پیش‌بین از دیدگاه خطی‌سازی بازخوردی یکبار بیشتر از درجه‌ی نسبی، یعنی هنگامی که در مشتق‌گیری‌های متوالی ورودی کنترل ظاهر می‌شود، مشتق می‌گیریم و در عین حال قانون کنترل با حداقل کردن خطای پیش‌بینی به دست می‌آید. شکل ۱ بلوک دیاگرام مربوط به کنترل پیش‌بین سیستم غیرخطی را نشان می‌دهد. ضریب‌های  $K$  از عناصر سطر اول ماتریس تشکیل شده  $N$  در رابطه‌ی (۱۴) به دست می‌آید.



شکل (۱): ساختار کنترل کننده پیش‌بین مبتنی بر مدل سیستم غیرخطی.

ورودی‌های معلوم تقریب‌گر عصبی بردار  $X$  و دارای بعد  $\mu+1$  است که می‌تواند از میان متغیرهای حالت، قانون کنترل، مشتق قانون کنترل و یا عناصر بردار خطای E انتخاب شود. دیگر ورودی‌های تقریب‌گر NN خطی پارامتریزه مانند  $m$  و  $V_\Delta$ ، مقادیر معلوم و ثابت هستند. اگر  $n_q$  تعداد نرون‌ها و ضریب‌های وزن فرض شود، رابطه‌ها و ابعاد سایر متغیرها و پارامترهای تقریب‌گر به صورت زیر خواهد بود:

$$\hat{\Delta} = w_f^T \zeta(X, V_\Delta^T) \quad w_f, \zeta \in R^{n_q \times 1}, V_\Delta^T \in R^{n_q \times n},$$

$$\hat{\zeta}(X, V_\Delta^T) = \exp(-(\hat{V}_\Delta^T X - m) / \sigma^2) \quad X \in R^{n \times 1}, \quad (23)$$

$$\hat{w}_f = \gamma E^T P B \zeta(X, \hat{V}_\Delta^T) - \gamma_1 \|E\| \hat{w}_f \quad m, \sigma \in R^{n_q \times 1}.$$

تابع نامعین  $\Delta(x, u, \dot{u})$  در رابطه‌ی (18) تابعی از متغیرهای حالت سیستم شامل زاویه، نرخ فراز، ورودی کنترل و مشتق ورودی کنترل است. اگر فرض شود که تمام متغیرهای حالت در دسترس باشند، می‌توان از متغیرهای حالت به عنوان ورودی تقریب‌گر استفاده کرد. اما در عمل، چنین شرایطی برقرار نیست و تنها با استفاده از حسگرهای شتاب‌سنج و جای روی نرخی می‌توان خروجی سیستم، یعنی شتاب جانبی و متغیر حالت نرخ فراز را اندازه‌گیری کرد. بنابراین از ورودی کنترل، خروجی سیستم و نرخ فراز می‌توان به عنوان عناصر بردار ورودی تقریب‌گر عصبی که بعد آن ۳ است، استفاده کرد. در مرجع [۲۳] نامعینی‌ها با یک شبکه عصبی خطی پارامتریزه شده، تقریب زده شده و ورودی شبکه عصبی شامل خروجی و مشتق‌های تقریبی خروجی است. در مرجع [۱۸] به جای تقریب زدن مشتق‌های خروجی، خطای خروجی به تقریب‌گر شبکه عصبی اعمال شده است.

بنابر مباحث فوق ورودی تقریب‌گر عصبی در حالت خطی پارامتریزه به صورت زیر انتخاب می‌شوند:

$$\hat{\Delta} = w_f^T \zeta(X, V_\Delta^T), \quad w_f, \zeta \in R^{n_q \times 1}, V_\Delta^T \in R^{n_q \times 3}, \quad (24)$$

$$X = [x_2, y, u]^T, \quad X \in R^{3 \times 1}.$$

شکل ۲ ساختار کنترل کننده‌ی تطبیقی پیش‌بین مبتنی بر مدل غیرخطی با استفاده از تقریب‌گر شبکه عصبی را نشان می‌دهد.

با فرض نامعین بودن توابع  $f(x, u), g(x, u)$  و درنظر گرفتن

تابع معین  $g_n(x, u)$  معادله‌ها به صورت زیر تبدیل می‌شوند:

$$y^{[\mu+1]} = \underbrace{f(x, u) + (g(x, u) - g_n(x, u))\dot{u}}_{\Delta} + g_n(x, u)\ddot{u},$$

$$y^{[\mu+1]} = g_n(x, u)\dot{u} + \Delta(x, u, \dot{u}), \quad (18)$$

$$\dot{u} = \frac{1}{g_n(x, u)}(y_m^{[\mu+1]} - KE - \hat{\Delta}) = g_n^{-1}(x, u)(y_m^{[\mu+1]} + \dot{u}_{dc} + \dot{u}_{ad}).$$

معادله‌های تخمین  $\Delta(x, u, \dot{u})$  در روش تقریب قانون کنترل بدون درنظر گرفتن نوع ساختار تقریب‌گر را می‌توان به صورت زیر بیان کرد:

$$\Delta = w^T \zeta(X) + \epsilon, \quad (19)$$

$$\hat{\Delta} = \hat{w}^T \zeta(X)$$

که در آن،  $\epsilon$  مقدار خطای تقریب و بردار  $X$  ورودی تقریب‌گر است. تابع نامعین  $\Delta(x, u, \dot{u})$  در رابطه‌ی (18) به صورت برخط<sup>۱</sup> تقریب زده شده و متناسب با تغییر توابع نامعین موشك، مشتق قانون کنترل و بتفعل آن قانون کنترل به روز شده است و رفتار سیستم حلقه‌بسته را اصلاح می‌کند. دینامیک خطای با جایگذاری مشتق قانون کنترل در معادله‌ی دینامیکی (18) به صورت زیر خواهد بود:

$$\dot{E} = A E + B(\tilde{\Delta}),$$

$$\dot{E} = A E + B(\tilde{w}_f^T \zeta(X) + \epsilon),$$

$$\tilde{w}_f = w_f - \hat{w}_f, \quad (20)$$

$$A = \begin{pmatrix} 0 & 1 & 0 & \dots & 0 \\ 0 & 0 & 1 & \dots & 0 \\ \vdots & \vdots & \vdots & \ddots & \vdots \\ 0 & 0 & 0 & \dots & 1 \\ -k_0 & -k_1 & -k_3 & \dots & -k_\mu \end{pmatrix}, \quad B = \begin{pmatrix} 0 \\ 0 \\ \vdots \\ 0 \\ 1 \end{pmatrix}.$$

قاعده‌ی تطبیق پارامترها را می‌توان به صورت زیر در نظر گرفت [۹]:

$$\hat{w}_f = \gamma E^T P B \zeta - \gamma_1 \|E\| \hat{w}_f. \quad (21)$$

ابعاد ماتریس  $P$  به صورت  $P \in R^{\mu+1} \times R^{\mu+1}$  بوده و از

معادله‌ی لیاپانف (۲۲) محاسبه می‌شود:

$$A^T P + P A = -Q. \quad (22)$$

برای تقریب تابع نامعین  $\Delta(x, u, \dot{u})$  در معادله‌های

دینامیک از شبکه عصبی خطی پارامتریزه که معادله‌های آن به صورت رابطه‌ی (۲۳) است، استفاده می‌شود. در این رابطه‌ها

پیش‌بین موشک STT این گونه است) از معادله‌ی لیاپانوف به دست می‌آیند. عبارت  $\mathcal{E}$  شامل خطاهاست تقریب‌گر است. حال فرض کنید قاعده‌ی تطبیق به صورت  $\zeta = Q_{\Delta}^{-1} E^T P B \hat{\epsilon}$  انتخاب شود.

با جایگذاری قواعد تطبیقی در مشتق تابع لیاپانوف داریم:

$$\dot{V} = -\frac{1}{2} E^T Q E + E^T P B \mathcal{E}. \quad (28)$$

از طرفی، مطابق جبر ماتریس‌ها با فرض معین مثبت بودن ماتریس  $Q$  داریم:

$$\|E\|^2 \lambda_{\max}(Q) \leq -E^T Q E \leq -\|E\|^2 \lambda_{\min}(Q), \quad (29)$$

$$\dot{V} = -\frac{1}{2} E^T Q E + E^T P B \mathcal{E} \leq -\frac{1}{2} \lambda_{\min}(Q) \|E\|^2.$$

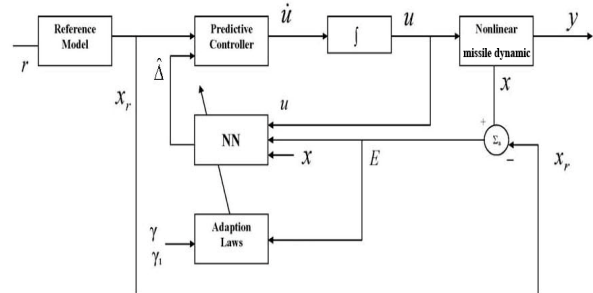
برای به دست آوردن محدوده‌ی پایداری UUB برای سیستم حلقه‌بسته باید رابطه‌های فوق به شکل مناسب تبدیل شوند، می‌توان نشان داد که رابطه‌ی (۲۹) به شکل زیر تبدیل خواهد شد:

$$\dot{V} \leq -\frac{1}{4} \lambda_{\min}(Q) \|E\|^2 + \frac{\lambda_{\max}^2(P)}{\lambda_{\min}(Q)} \|B\| \|\mathcal{E}\|^2. \quad (30)$$

درنتیجه تابع  $\dot{V}$  در خارج از ناحیه‌ی زیر معین منفی خواهد بود:

$$N = \left\{ E \text{ where } \|E\| \leq 2 \frac{\lambda_{\max}(P)}{\lambda_{\min}(Q)} \|B\| \mathcal{E} \right\}. \quad (31)$$

برای افزایش محدوده‌ی پایداری سیستم حلقه‌بسته باید  $\lambda_{\max}(P)$  در رابطه‌ی (۳۱) کاهش یابد. اما از طرفی ماتریس  $P$  براساس معادله‌ی لیاپانوف به ماتریس  $A$  و ماتریس  $A$  نیز به مقادیر بردار  $K$  که در قبل، از روش پیش‌بین طراحی شده است، بستگی دارد. همچنین بردار  $K$  وابسته به مرتبه‌ی بسط تیلور است. محاسبه‌ی  $\lambda_{\max}(P)$  به  $\lambda_{\max}$  به ازای تعداد جمله‌های بسط تیلور  $r = 4, 5, 6, 7$  نشان می‌دهد. با افزایش مرتبه‌ی بسط تیلور مقدار  $\lambda_{\max}(P)$  افزایش و محدوده‌ی پایداری نیز کاهش می‌یابد. بنابراین افزایش محدوده‌ی پایداری به معنی کاهش عملکرد (به دلیل کاهش مرتبه‌ی بسط تیلور) سیستم حلقه‌بسته است. عوامل دیگری نیز در محدوده‌ی پایداری نقش دارند، مانند پارامتر  $\mathcal{E}$  یا خطای تقریب‌گر و ورودی‌های آن، که با تنظیم مناسب پارامترهای تقریب‌گر، می‌تواند کاهش یابد.



شکل (۲): ساختار کنترل کننده‌ی تطبیقی پیش‌بین مبتنی بر مدل غیرخطی با استفاده از تقریب‌گر شبکه‌ی عصبی.

#### ۵- تحلیل پایداری

برای بررسی پایداری سیستم‌های تطبیقی به طور عموم توسط روش لیاپانوف<sup>۱</sup> و معیارهای شبیه آن مانند لم باربالات<sup>۲</sup> و پایداری<sup>۳</sup> UUB انجام می‌شود. فرض کنید تابع لیاپانوف به صورت زیر انتخاب می‌شود:

$$V = \underbrace{\frac{1}{2} E^T P E}_{V_1} + \tilde{w}_f^T Q_1 w_f^T, \quad (25)$$

$$\dot{E} = AE + B(\underbrace{\tilde{w}_f^T \zeta \mathcal{E}}_{\chi}),$$

$$\tilde{w}_f = w_f - \hat{w}_f.$$

ابتدا مشتق عبارت اول در تابع لیاپانوف را محاسبه می‌کنیم و داریم:

$$\begin{aligned} \dot{V}_1 &= \frac{1}{2} \dot{E}^T P E + \frac{1}{2} E^T P \dot{E} = \\ &\frac{1}{2} ((E^T A^T + \lambda B^T) P E + E^T P (A E + \lambda B)), \\ \dot{V}_1 &= \frac{1}{2} E^T (A^T P + P A) E + E^T P B \lambda, \\ \dot{V}_1 &= -\frac{1}{2} E^T Q E + E^T P B \lambda. \end{aligned} \quad (26)$$

مشتق عبارت دوم نیز مشابه رابطه‌ی (۲۶) محاسبه شده است، درنتیجه داریم:

$$\dot{V} = -\frac{1}{2} E^T Q E + E^T P B \tilde{w}_f^T \zeta - \tilde{w}_f^T Q_{\Delta} \dot{w} + E^T P B \mathcal{E}. \quad (27)$$

ماتریس  $P$  در صورت هرویتس بودن  $A$  (که در کنترل

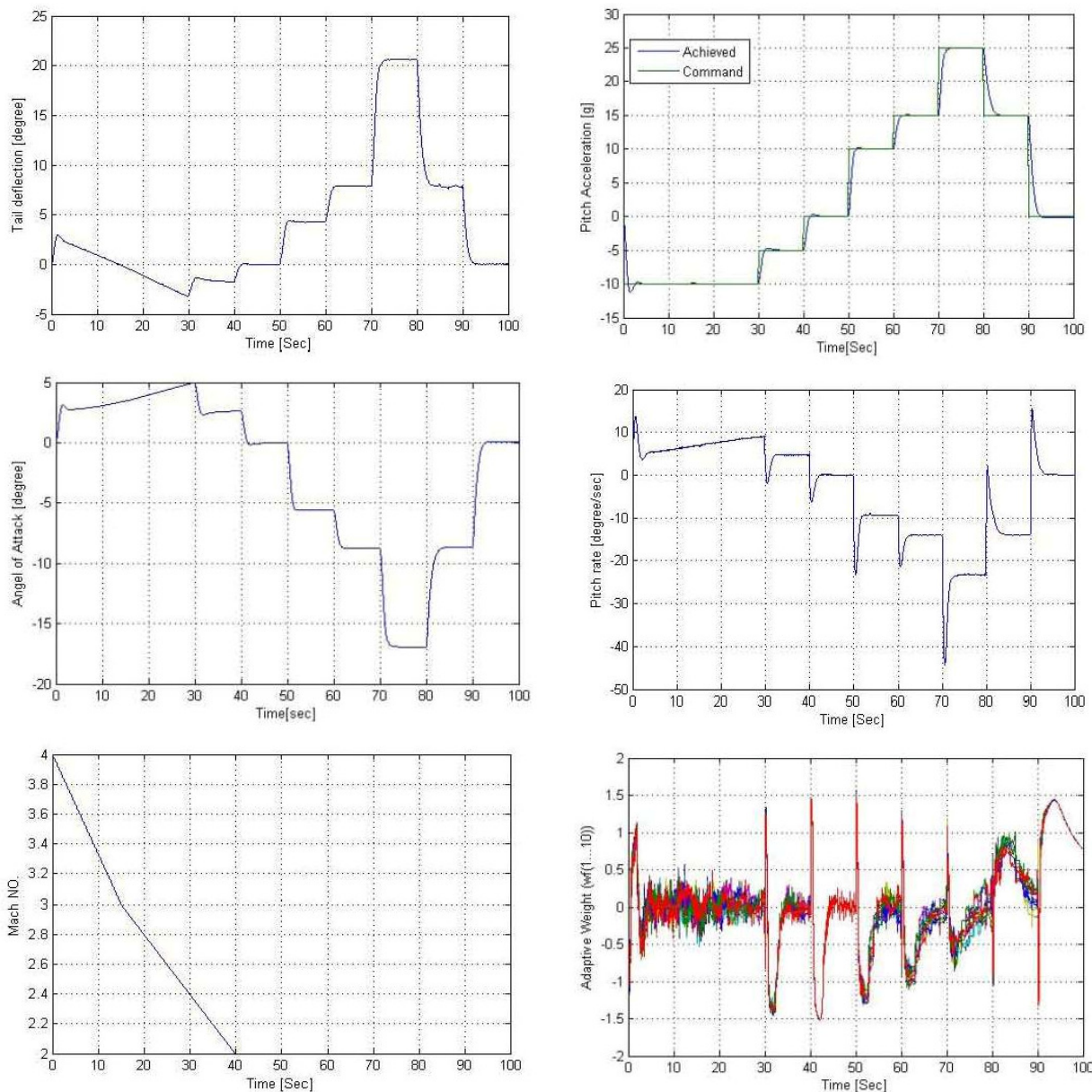
1- Lyapanov

2- Barbalat's Lemma

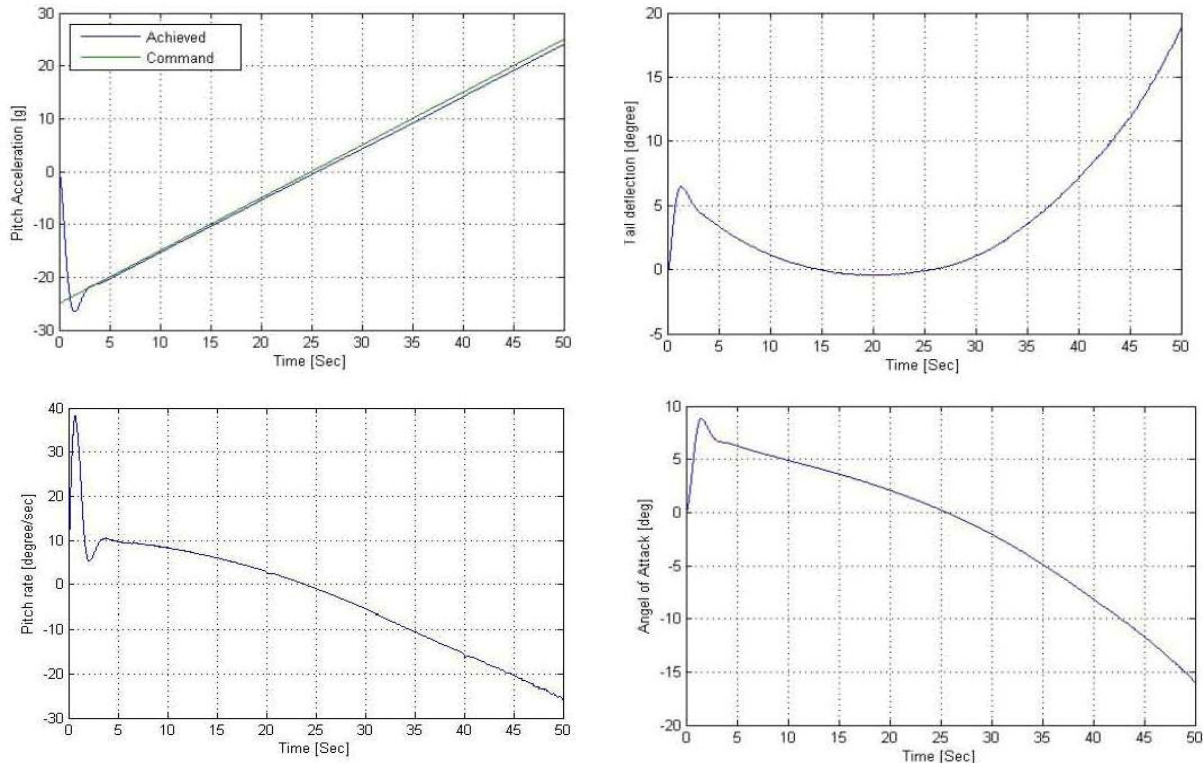
3- Uniformly Ultimate Bounded

## ۶- نتیجه‌های شبیه‌سازی

در شبیه‌سازی سیستم غیرخطی با کنترل کننده‌ی تطبیقی پیش‌بین مبتنی بر تقریب گر عصبی خطی پارامتریزه شده، مقادیر اولیه حالت‌ها  $x(0) = [0, 0]^T$  و پارامتر نامعین عدد ماخ به صورت  $2 \leq M \leq 4$  که در برگیرنده‌ی محدوده‌ی تغییرات این پارامتر است، فرض می‌شود. پارامترهای ثابت کنترل کننده‌ی مبتنی بر شبکه‌ی عصبی، در رابطه‌ی (۲۱) به صورت  $\gamma_1 = 0.5$  و  $\gamma_2 = 100$  انتخاب می‌شوند.



شکل (۳): پاسخ سیستم حلقه‌بسته موشک STT با کنترل تطبیقی مدل - مرجع پیش‌بین مبتنی بر تقریب به ورودی مرجع پله.



شکل(۴): پاسخ سیستم حلقه‌بستهٔ موشک STT با کنترل تطبیقی مدل – مرجع پیش‌بین مبتنی بر تقریب به ورودی مرجع شیب.

جرم موشک در طول پرواز به دست می‌آید. باتوجه به قابلیت شبکه‌های عصبی در تقریب توابع نامعین استفاده از مدل‌های غیرخطی کامل‌تر موشک که تغییر جرم در آن لحاظ شود، می‌تواند توانایی این روش‌های کنترلی مبتنی بر تقریب را بیش از پیش نشان دهد.

در ادامه برای کارهای بعدی می‌توان از سایر تقریب‌گرهای مانند تقریب‌گر مبتنی بر منطق فازی، سری فوریه و... بهره گرفت.

#### مراجع

1. Kim, S.H., Kim, Y.S., and Song, Ch. "A Robust Adaptive Nonlinear Control Approach to Missile Autopilot Design", CNTL. Engrn. Practic, Vol. 12, No. 2, pp. 149-154, 2004.
2. Ghaffari, A., Esmaili, A.A., and Nikkah-Bahrami, M. "Flight Control, Using Modified Backstepping Approach and a Non-linear Observer", Mechanic Aerospace J., Vol. 2, No. 1, pp. 55-67, 2006 (In Persian).

#### ۷- نتیجه‌گیری

در این مقاله، روش تطبیقی پیش‌بین مبتنی بر تقریب، برای طراحی سیستم کنترل موشک مورد استفاده قرار گرفت و از قابلیت شبکه‌های عصبی در تقریب توابع نامعین دینامیک موشک استفاده شده است. نتیجه‌های شبیه‌سازی نشان می‌دهد با وجود عدم قطعیت‌ها و متغیر با زمان بودن پارامترهای معادله‌های دینامیکی موشک رديایي، ورودی مرجع به خوبی انجام می‌گيرد. اگرچه در شبیه‌سازی تنها پارامترهای نامعین متغیر با زمان تغیير می‌کنند، اما از آنجا که کل توابع نامعین در معادله‌های دینامیکی تقریب زده می‌شود، سیستم علاوه‌بر تقابل با عدم قطعیت‌های پارامتری در مواجه با عدم قطعیت‌های ساختاري نيز مقاوم است. ورودی‌های تقریب‌گر پارامترهای قابل اندازه‌گیری توسط سنسورهای ناوبری بوده که از حیث عملی و پیاده‌سازی حائز اهمیت است. از طرف دیگر، معادله‌های دینامیکی موشک استفاده شده در این تحقیق، با فرضیاتی مانند ثابت بودن

- Vol. 23, No. 3, pp. 547–553, 2000.
14. Calise, A., Lee, S., and Sharma, M. “Development of a Reconfigurable Flight Control Law for a Tailless Aircraft”, *J. Guid., Control, Dynam.*, Vol. 24, No. 5, pp. 896–902, 2001.
  15. Narendra, K.S. and Parthasarathy, K. “Identification and Control of Dynamical Systems Using Neural Networks”, *IEEE Trans. Neural Netw.*, Vol. 1, No. 1, pp. 4–27, 1990.
  16. Wang, L.X. and Mendel, J.M. “Fuzzy Basis Functions, Universal Approximation, and Orthogonal Least Squares Learning”, *IEEE Trans. Neural Network.*, Vol. 3, No. 5, pp. 807–814, 1992.
  17. Gheng, Ch. and Hu, Ch.Ch. “Adaptive Fuzzy Controller for Nonlinear Uncertain System”, *IEEE Int.t Proc. and Manufacturing*, pp. 1131–1136, 1999.
  18. Kim, N. and Calise, A. “Several Extensions in Methods for Adaptive Output Feedback Control”, *IEEE Trans. On Neural Networks*, Vol. 18, No. 2, pp. 482-493, 2007.
  19. Mehrabian, A.R. and Roshanian, J. “Skid-to-Turn Missile Autopilot Design Using Scheduled Eigenstructure AssignmentTechnique”, *Proc. of I MECH E part G, J. of Aerospace Eng.*, Vol. 220, No. 3, pp. 225-239, 2006.
  20. Tsourdos, A. and White, B. “Control Flight Control Design for Nonlinear Missile”, *Control. Eng. Practice*, Vol. 13, No. 3, pp. 374-382, 2005.
  21. Reichert, R.T., “Robust Autopilot Design Using Mu-Synthesis”, In *Proc. ACC, American Control Conf.*, pp. 1368-2373, 1990.
  22. Devaud, E., Siguerdidjane, H., and Font, S. “Some Control Strategies for a High Angle Attack Missile Autopilot”, *CNTL. ENGN. Practice*, Vol. 9, No. 8, pp. 885-892, 2000.
  23. Hovakimyana, N., Yang, B. J., and Caliseb, A.J. “Adaptive Output Feedback Control Methodology Applicable to Non-Minimumphase Nonlinear Systems”, *Automatica* Vol. 42, No. 4, pp. 513 – 522, 2006.
  3. Chen, Y.Y., Chen, B.S., and Shi Tseng, Ch. “Adaptive Fuzzy Mixed Control Lateral Control of Nonlinear Missile Systems”, *IEEE Int. Conf. on Fuzzy Systems*, Vol. 1, pp. 512-516, 2003.
  4. Chen, W.H. “Predictive Control of General Nonlinear Systems using Approximation”, *IEEE Proc. CNTL Theo. App.*, Vol. 151, No. 2, 2004.
  5. Chen, W.H. “Analytic Predictive Controller for Nonlinear Systems with Ill-defined Relative Degree”, *IEEE Proc. CNTL. Theo. Appl.*, Vol. 148, No. 1, pp. 6-9, 2001.
  6. Bacic, M., Cannon, M., and Kouvaritakis, B., “Feedback Linearization Constrained NMPC for Input Affine Nonlinear Systems”, *IEE Proc. Theo. Appl.*, Vol. 152, No. 3, pp. 259-265, 2005.
  7. Mrabet, M., Fnaiech, F., and Al-Haddad, K. “Convergence Analysis of a Nonlinear Predictive Adaptive Controllers”, *IEEE ISIE, Canada*, Vol. 1, pp. 405-410, 2006.
  8. Marbet, M., Fnaiech, F., and Al-Haddad, K. “Nonlinear Predictive Adaptive Controllers for General Nonlinear Systems”, *IEEE ISIE'04, Ajacco, France*, Vol. 1 pp.453-458, 2004.
  9. French, M., Szepesvari, C., and Rogers, E. “Performance of Nonlinear Approximate Adaptive Controllers”, West Sussex, England: Wiley, 2003.
  10. Shaochenga, T., Binb, Ch., and Yongfuc, W. “Fuzzy Adaptive Output Feedback Control for MIMO Nonlinear Systems”, Elsevier, *Fuzzy Sets and Sys.s*, Elsevier, Vol. 156, No. 2, pp. 285–299, 2005.
  11. Phan, Ph.A. and Gale, T. “Two-Mode Adaptive Fuzzy Control with Approximation Error Estimator”, *IEEE Trans. On Fuzzy Sys.*, Vol. 15, No. 5, pp. 943-955, 2007.
  12. Barron, A. “Universal Approximation Bounds for Superpositions of a Sigmoidal Function,” *IEEE Trans. Inf Theory*, Vol. 39, No. 3, pp. 930–945, 1993.
  13. McFarland, M. and Calise, A. “Multilayer Neural Networks and Adaptive Control of Agile Anti-Air Missile”, *J. Guid, Control, Dynam.*,